

УДК 621.311.502

Э. Г. БРАТУТА, д-р техн. наук, профессор

Национальный технический университет «Харьковский политехнический институт».

Г. Харьков

А Р СЕМЕНЕЙ

ЗАО «Харьковский опытный литейный завод», аспирант НТУ «ХПИ» г. Харьков

ОЦЕНКА ЭФФЕКТИВНОСТИ ИСПОЛЬЗОВАНИЯ ПИРОЛИЗНОГО ТЕПЛОГЕНЕРАТОРА В СХЕМАХ ТЕПЛО- И ЭЛЕКТРОСНАБЖЕНИЯ

В работе представлены результаты сравнительного анализа эффективности использования теплогенератора пиролизного типа в энергетических схемах комбинированного производства тепловой и электрической энергии.

У роботі представлені результати порівнявального аналізу ефективності використання теплогенератора піролізного типу в енергетичних схемах комбінованого виробництва теплої і електричної енергії.

Введение

В наших работах [1, 2] была показана перспективность внедрения альтернативных технологий тепло- и энергоснабжения, не зависящих от централизованного снабжения топливом. Речь шла об использовании твердой биомассы (древесина, солома, отходы пищевого и сельскохозяйственного производства) в качестве топлива, сжигаемого в теплогенераторах пиролизного типа (ТПТ). Подтверждением актуальности реализации такой технологии являются многочисленные публикации, обобщение которых представлено в [3, 4].

Настоящая статья посвящена анализу возможности расширения спектра энергетического использования теплогенераторов пиролизного типа для автономного электро и теплоснабжения как производственных, так и социальных объектов.

В статье рассматриваются два возможных варианта комбинированного генерирования энергии с использованием воздушной турбины (ВТ) и паротурбинной (ПТУ) схемы.

Основная часть

На рис. 1 показана первая схема трансформации энергии с использованием ВТ.

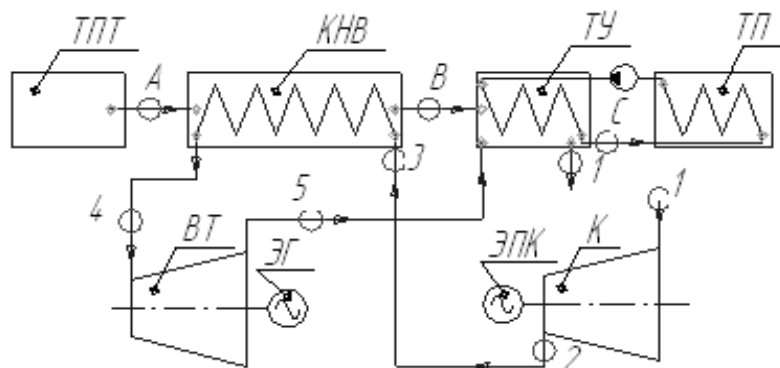


Рис. 1. Схема ТПТ с ВТ

Продукты сгорания, образовавшиеся в теплогенераторе (ТПГ), поступают в камеру нагрева воздуха (КНВ) и далее – в теплоутилизатор (ТУ), где идет нагрев воды, подаваемой к теплопотребителю (ТП). Энергетический блок установки включает воздушную турбину (ВТ), регенератор (Р), компрессор (К) для сжатия воздуха и электропривод компрессора (ЭПК).

В энтропийной диаграмме TS для пояснения процедуры параметризации процессов представлен цикл ВТ с подводом теплоты при постоянном давлении.

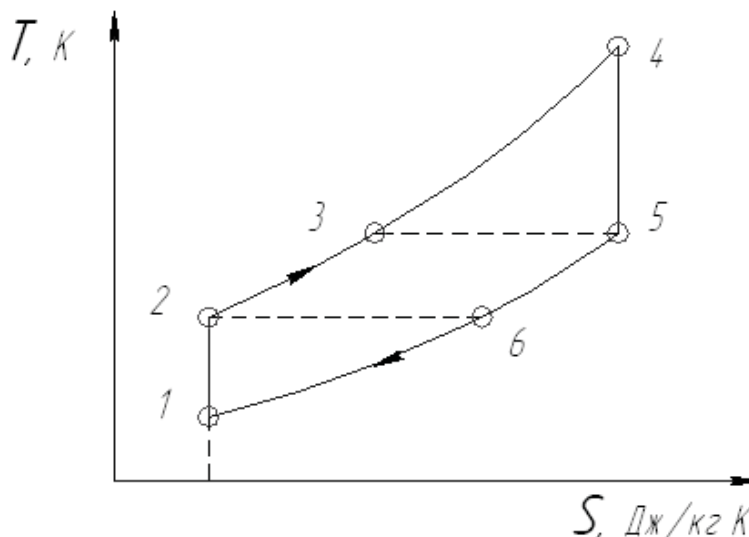


Рис. 2. Цикл ВТ

Состояние воздуха в узловых точках схемы (рис. 1) и цикла (рис. 2) обозначены одинаковыми цифрами.

В качестве исходных данных для проведения расчетного анализа приняты :

- температура продуктов сгорания за ТПТ t_A , задаваемая в трех уровнях: 1200, 1000, и 800°C, подтверждается в реализации рядом натурных испытаний [1];
- температура наружного воздуха t_1 от -30 до 40°C;
- температура воздуха перед турбиной $t_4 = 700^\circ\text{C}$;
- степень сжатия воздуха в компрессоре $\beta = P_2/P_1$ задается в диапазоне от 2 до 6;

Для упрощения анализа (не влияющего на конечные выводы) принимаем, что $t_3 = t_5$ и $t_6 = t_2$.

При задаваемой величине β

$$T_6 = T_2 = T_1 \beta^{(k-1)/k} \quad \text{и} \quad T_3 = T_5 = T_4 \beta^{(k-1)/k}.$$

Во всех расчетах принималось, что $T_4 = T_A - 10\text{K}$

Используя известные соотношения для расчета цикла ВТ, требуемый расход воздуха на турбину M_{BT} можно найти как

$$M_{BT} = \frac{N_{\text{эл}}}{\left[C_{p_{\text{вт}}} (T_4 - T_5) \eta_{oit} \cdot \eta_{\text{мт}} - \frac{(T_2 - T_1) \bar{C}_{p_{\text{вт}}}^2}{\eta_{\text{мк}} \cdot \eta_{oik} \cdot \eta_{\text{пк}}} \right] \eta_{\text{эг}}} , \quad (1)$$

где η_{oit} и η_{oik} – индикаторные КПД турбины и компрессора, принимаемые равными 0,86;

$C_{p_{\text{вт}}}$ – средняя изобарная теплоемкость воздуха в соответствующем интервале температур;

$\eta_{\text{мт}}$ и $\eta_{\text{мк}}$ – механические КПД турбины и компрессора, принимаемые равными 0,95;

$\eta_{\text{пк}}$ и $\eta_{\text{эг}}$ – КПД привода компрессора и электрогенератора, принимаемые равными 0,97.

Из уравнения теплового баланса камеры нагрева воздуха (КНВ) находим расход продуктов сгорания M_{pc} , как

$$M_{pc} = \frac{M_{BT} C_{p_{\text{вт}}} (T_4 - T_3)}{\bar{C}_{p_{\text{пс}}} (T_A - T_B)} , \quad (2)$$

где $C_{p\text{pc}}$ – средняя изобарная теплоемкость продуктов сгорания в интервале температур от T_A до T_B .

При заданном виде топлива по известным соотношениям [4] определяется массовый расход m_{pc} продуктов сгорания, приходящийся на 1 кг рабочей массы топлива и требуемый его расход $M_r = M_{\text{pc}} / m_{\text{pc}}$. Химический состав продуктов сгорания и их доля в общем расходе позволяют вычислить величину $\bar{C}_{p\text{pc}}$.

В первом приближении $\bar{C}_{p\text{pc}}$ и m_{pc} находятся при коэффициенте избытка воздуха $\mu = 1$, а далее уточняются в соответствии с имеющимися экспериментальными результатами.

Тепловая мощность ТПТ находится, как

$$Q_0 = M_{\text{pc}} \cdot \bar{C}_{p\text{pc}} \cdot T_A . \quad (3)$$

Как принято, при оценке эффективности теплофикационных циклов, коэффициент теплоиспользования определяется в виде

$$K = (N_{\text{эл}} + Q_{\text{тп}}) / Q_0 , \quad (4)$$

где тепловая мощность, переданная теплопотребителю равна

$$Q_{\text{тп}} = M_{\text{гв}} C_{\text{гв}} \Delta t_{\text{гв}} , \quad (5)$$

где $M_{\text{гв}}$ – расход горячей воды, подаваемой потребителю при степени ее нагрева $\Delta t_{\text{гв}}$. При этом из теплового баланса теплоутилизатора (ТУ)

$$M_{\text{гв}} = \frac{M_{\text{pc}} \cdot \bar{C}_{p\text{pc}} (T_B - T_c)}{C_{\text{гв}} \cdot \Delta t_{\text{гв}}} . \quad (6)$$

В выполненных расчетах принималось, что $T_c = T_{1\text{гв}} + 10$, где $T_{1\text{гв}}$ – температура горячей воды на входе в теплоутилизатор.

Рассмотрим второй вариант использования ТПТ в схеме с паротурбинной установкой, показанной на рис. 3.

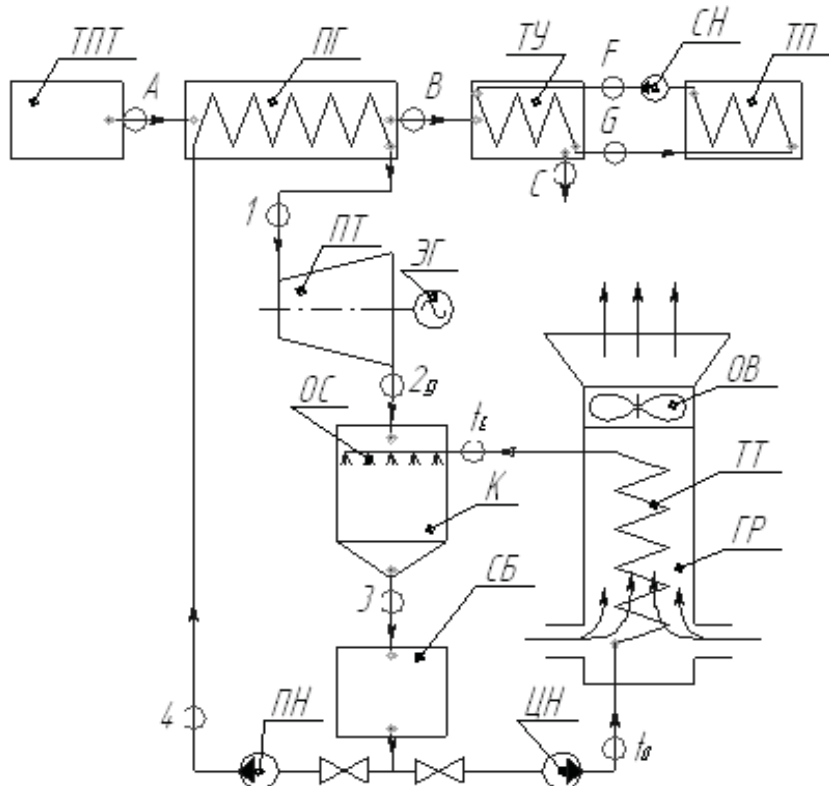


Рис. 3. Схема ТПТ с паротурбинной установкой.

Из ТПТ продукты сгорания с температурой T_A поступают в прямоточный жаротрубный парогенератор (ПГ), в котором конденсат, подаваемый из сборного бака (СБ) питательным насосом (ПН) превращается в пар. В состоянии 1 перегретый пар поступает в паровую турбину (ПТ), приводящую в действие электрогенератор (ЭГ). Отработавший пар (состояние 2d) конденсируется в конденсаторе контактного типа (К) за счет взаимодействия с распыленным в оросительной системе (ОС) конденсатом, предварительно охлажденным в сухой градирне (ГР).

После ПГ продукты сгорания с температурой T_B поступают в теплоутилизатор (ТУ) в котором происходит нагрев воды, подаваемой к теплопотребителю (ТП) сетьевым насосом (СН). Продукты сгорания покидают ТУ с температурой T_c .

Противодавление пара за турбиной принимается $P_2 = 1,2$ бар, температура продуктов сгорания за ПГ принимается как $T_B = T_1 + 40^\circ\text{C}$. При этом в расчетах температура пара перед турбиной варьируется в пределах от 250 до 450°C , при изменении его давления от 20 до 80 бар. Температура T_c за теплоутилизатором принимается равной 120°C .

На основе известных термодинамических соотношений для расчета паросилового цикла, а также соответствующих уравнений теплового баланса парогенератора, было получено расчетное уравнение для определения требуемой тепловой мощности ТПТ, Q_0 для генерирования заданной электрической мощности $N_{\text{ЭГ}}$ на клеммах электрогенератора.

$$Q_0 = N_{\text{ЭГ}} \frac{T_A}{(T_A - T_B) \eta_t \eta_{oi} \eta_m \eta_{\text{ЭГ}} \eta_{\text{ПГ}}} . \quad (7)$$

Здесь η_t – термический КПД цикла, равный

$$\eta_t = \frac{i_1 - i_2}{i_1 - i_4}, \quad (8)$$

где i_2 – энталпия пара в конце его адиабатного расширения в турбине;
 η_{oi} – индикаторный КПД турбины, равный

$$\eta_{oi} = 0,8 - y_2, \quad (9)$$

где y_2 – степень влажности пара;

η_m – механический КПД турбины, равный 0,95;

$\eta_{\text{ПГ}}$ – КПД парогенератора, равный 0,96.

Так как значения T_A , η_t и η_{oi} определены параметризацией цикла, то уравнение (7) обобщенно отражает зависимость Q_0 фактически от всех характеристик паросиловой установки и теплогенератора пиролизного типа. В связи с тем, что работа энергоблока предполагается автономной (без подключения к внешней электросети), то затраты на привод питательного и циркуляционного насосов являются т.н. собственными нуждами установки.

Поэтому полезную мощность $N_{\text{п}}$ следует представить как

$$N_{\text{п}} = N_{\text{ЭГ}} - (N_{\text{пп}} + N_{\text{цпп}}) . \quad (10)$$

где $N_{\text{пп}}$ и $N_{\text{цпп}}$ – мощность привода питательного и циркуляционного насосов.

В соответствии с известными соотношениями

$$N = \frac{M_{\text{п}} (P_1 - P_3)}{10^3 \cdot \rho_k \eta_{\text{пп}}} , \text{ кВт} \quad (11)$$

$$N_{\text{цн}} = \frac{M_{\text{цв}} \cdot \Delta P_{\text{цв}}}{10^3 \cdot \rho_{\text{цв}} \cdot \eta_{\text{цн}}}, \text{ кВт} \quad (12)$$

где $\rho_{\text{к}} = \rho_{\text{цв}}$ – плотность конденсата пара и циркуляционной воды, принимаемые равным $10^3 \text{ кг}/\text{м}^3$.

$M_{\text{п}}$ – расход конденсата (равный расходу пара на турбину);

$M_{\text{цв}}$ – расход циркуляционной воды в конденсаторе паровой турбины;

$\Delta P_{\text{цв}}$ – напор циркуляционной воды, принимаемый равным $2 \cdot 10^5 \text{ Па}$.

Из теплового баланса конденсатора получим

$$M_{\text{цв}} = \frac{M_{\text{п}}(i_{2\partial} - i_3)}{Cp(t_D - t_E)}, \quad (13)$$

где $(t_D - t_E)$ – степень охлаждения циркуляционной воды в градирне, принимаемой равной 10°C .

Из теплового баланса блока (ТУ) – (ТП) следует:

$$M_{\text{пс}} \bar{C}p_{\text{пс}} (T_B - T_c) \eta_{\text{ты}} = M_{\text{гв}} \bar{C}p_{\text{гв}} (T_G - T_F) \xi_{\text{тп}}, \quad (14)$$

где $\eta_{\text{ты}} = 0,95$ – КПД теплоутилизатора (ТП);

$\xi_{\text{тп}} = 1,05$ – коэффициент, учитывающий потери теплоты теплопотребителя (ТП);

$M_{\text{гв}}$ – расход горячей воды, нагреваемой от 40 до 85°C ;

$\bar{C}p_{\text{гв}}$ – изобарная теплоемкость горячей воды.

Используя уравнения (3), (7) и (14), получим

$$M_{\text{гв}} = Q_0 \frac{(T_B - T_c) \eta_{\text{ты}}}{T_A \bar{C}p_{\text{гв}} (T_G - T_F) \xi_{\text{тп}}}. \quad (15)$$

Для оценки общей энергоэффективности установки определяется коэффициент теплоиспользования как

$$K = \frac{N_{\text{эг}} + Q_{\text{ты}}}{Q_0}. \quad (16)$$

С учетом уравнений (7), (14), (15) и (16) получим

$$K = \frac{1}{T_A} \left[(T_A - T_B) \eta_t \eta_{oi} \eta_M \eta_{\text{эг}} \eta_{\text{пг}} + (T_B - T_c) \eta_{\text{ты}} \right]. \quad (17)$$

При этом, если приоритетным показателем работы установки считать электрическую мощность на клеммах генератора $N_{\text{эл}}$, то в соответствии с результатами многовариантных расчетов максимум $N_{\text{эл}}$ при использовании ГТУ достигается при степени сжатия в компрессоре $\beta = 3,2$, а при использовании паротурбинной установки (ПТ) это имеет место при температуре пара перед турбиной 340°C в диапазоне изменения начального давления пара от 20 до 80 бар.

Результаты сравнительных расчетов эффективности использования газотурбинного (ГТ) и паротурбинного (ПТ) циклов представлены в таблице.

Таблица

Показатели работы газотурбинного (ГТ) и паротурбинного (ПТ) блоков

Температура T_A , °C		800	1000	1200
Мощность на клеммах генератора N , кВт	ГТ	100	134	157
	ПТ	95	107	125
Коэффициент теплоиспользования, К	ГТ	0,397	0,410	0,457
	ПТ	0,309	0,319	0,370
Расход горячей воды M_{fb} , т/час	ГТ	8,70	7,00	5,82
	ПТ	6,20	5,2	4,1

Все варианты расчета выполнены при фиксированной мощности теплогенератора Q_0 , принятой равной 1 МВт. Экспериментально установлено [1], что реализация указанной тепловой мощности обеспечивается, к примеру, при сжигании в среднем 300 – 350 кг/час древесных отходов.

Выводы

- Учитывая то, что в качестве топлива используются различного рода отходы производства, стоимость которых существенно ниже стоимости традиционных видов топлива, реализация рассмотренных в статье схем представляется целесообразной.
- Сравнение результатов расчета энергетической эффективности использования блоков ГТ и ПТ показывает безусловное преимущество газотурбинного варианта, однако окончательное техническое решение возможно лишь при оценке величины капитальных затрат, определяемых стоимостью конкретных блоков схемы (турбины, компрессора, регенератора, градирни, парогенератора и пр.).
- Предварительный анализ показал, что реализация того или иного решения возможна лишь на базе готовых блоков, выпускаемых промышленностью для различных теплотехнологических целей.

Список литературы

- Братута Э. Г., Семеней А. Р. Перспективы использования топочных агрегатов пиролизного типа. // Энергосбережение·Энергетика ·Энергоаудит. № 4 (74), 2010, С. 8–12.
- Семеней А. Р., Братута Э. Г. Методика оценки эффективности теплогенератора пиролизного типа в нестационарном режиме эксплуатации. // Інтегровані технології.
- Енергія навколо нас /А. С. Конеченков, М. М. Федосенко, Г. А. Шилович та інш. – К.: 99–192 с.
- Энергетические установки и окружающая среда. Под ред. Маляренко В. А. – Харьков: ХГАГХ, 2002. – 398 с.
- Тепловой расчет котлов (нормативный метод). Изд. 3, перер. и доп. НПО ЦКТИ – ВТИ. С. Петербург. 1998.– 260 с.

EFFICIENCY OF PYROLYSIS STEAM GENERATOR USING FOR ELECTRIC AND HEAT SUPPLY

E. G . BRATUTA, Doct. Tech.Sci., professor,
A. R. SEMENEI, post-graduate student

The results of comparative analyze of pyrolysis type steam generators use in energy schemes for combined production of heat and electric energy are presented.

Поступила в редакцию 11.05 2011 г.